

宮崎大学 工学部

正員 藤本 廣

〃 横田 漢

宮崎大学 大学院

学生員 ○瀬崎 菊弘

### 1. まえがき

著者らは、これまでに乱したシラスの応力-ひずみ関係を求めるために、従来、土の応力-ひずみ関係に関して多く用されてきた正八面体応力-ひずみ関係<sup>1)</sup>に基づいて、 $\sigma_{\text{oct}}$ -一定実験、 $\tau_{\text{oct}}$ -一定実験を行って来た<sup>2), 3)</sup>。本文では、その後得られた実験結果を示すと同時に、これに基づく実験曲線(応力-ひずみ曲線)を数式化して、F.E.M解析に利用した結果を報告する。

### 2. $\sigma_{\text{oct}}$ -一定実験結果

図-1, 2に $\sigma_{\text{oct}}$ -一定実験結果( $\sigma_{\text{oct}} = 1.0, 1.5 \text{ kg/cm}^2$ )を示す。実験方法等につりては、参考文献で説明しているので、説明を省略する。図中の間ゲキ比は、 $\sigma_{\text{oct}}$ 一定実験を開始する時点のものである。実験はすべて排水状態で、ひずみ速度は大体 $0.15\%/\text{分}$ である。図-1は体積変化 $\Delta V/V$ と $\sigma_{\text{oct}}/\sigma_{\text{oct}}$ の関係を示すもので、曲線の微係数はDilatancy係数に相当する。同図より、標準剪のDilatancyは当然正であるが、シラスは圧縮性が大きく、最初、体積が直線的に減少してゆき、破壊前に体積が膨張して、Dilatancyが正となる。図-2に $\tau_{\text{oct}}$ と $\sigma_{\text{oct}}/\sigma_{\text{oct}}$ の関係を示す。同図の微係数はせん断弾塑性係数の逆数を意味している。この図よりシラスの形状変化( $\delta_{\text{oct}}$ )は標準剪はごと比べて小さいことがわかる。

### 3. $\tau_{\text{oct}}$ -一定実験結果

$\tau_{\text{oct}}$ -一定実験は、主応力差( $\sigma_1 - \sigma_3$ )を一定に保ち、 $\sigma_3$ を増加させる方法と減少させる方法があるが、この報告では、通常の測定-一定実験のある段階から2通りの方法( $\sigma_3 = 0.5 \text{ kg/cm}^2$ ,  $\lambda = \sigma_1 - \sigma_3 = 0.0, 2.0 \text{ kg/cm}^2$ )で、まず主応力差を一定に保ったまま、 $\sigma_3$ を増加させ、 $\sigma_3$ が $4.5 \text{ kg/cm}^2$ になると逆に $\sigma_3$ を減少させた。実験は排水状態で、ひずみ速度は、 $\sigma_3$ が増加する時は約 $0.03\%/\text{分}$ 、減少する時は約 $0.01\%/\text{分}$ とした。図-3, 4に $\tau_{\text{oct}}$ -一定実験結果を示す。間ゲキ比は $\tau_{\text{oct}}$ -一定実験を開始する時点のものである。図-3は $\Delta V/V$ と $\sigma_{\text{oct}}$ の関係を示す。この曲線の微係数は、体積弾塑性係数の逆数を意味している。 $\lambda = 0$ つまり等方圧縮試験の場合においては、最初、体積が直線的に減少してゆき、变形が進んである程度密な状態になると、体積変化はゆるやかな曲線を描くようになるか、この部分に関しては近似的に直線とみな

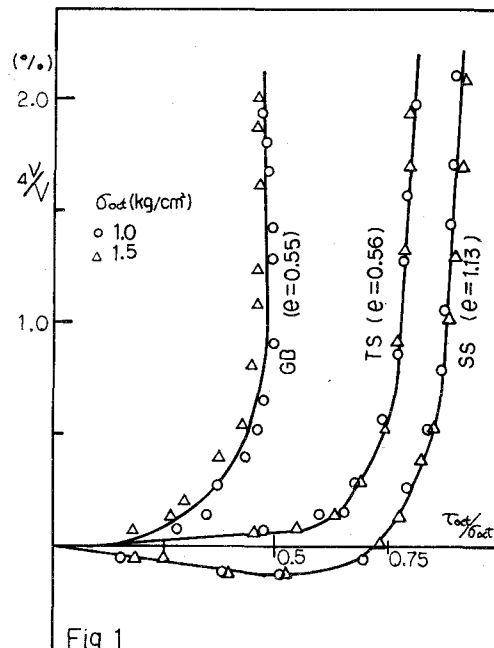


Fig. 1

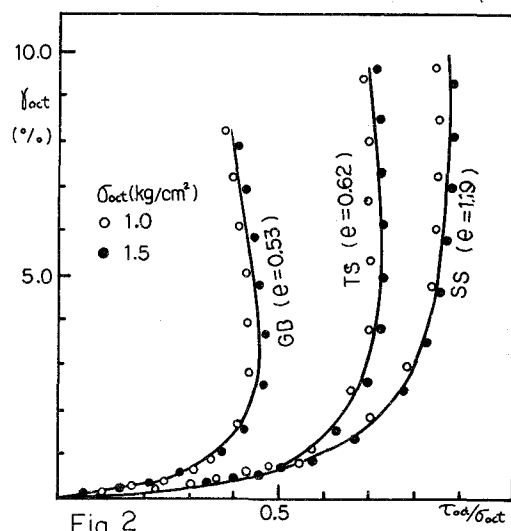


Fig. 2

せる。 $\lambda = 2$  の場合は、この実験の応力範囲では、直線的に体積が減少してゆく。結局、いずれの場合も直線で表現できる。図-4に  $\delta_{oct}$  と  $\delta_{oct}$  の関係を示す。この場合、 $\delta_{oct}$  は  $d\sigma_{oct} = 0$  の場合におけるせん断変形を表すものであるが、等方性材料では起り得ない変形である。 $\lambda = 0$  の場合は、せん断応力が存在しないので、 $\delta_{oct}$  は非常に小さく無視できる程であるが、 $\lambda = 2$  の場合は、せん断応力の影響で無視できず、その応力ひずみ曲線は直線関数で与えられる。むしろ  $\delta_{oct}$  は  $\delta_{oct}$  である。

#### 4. F. E. M 解析例

図-1 を直線と指指数関数で近似し、微係数を  $a_1$ 、図-2 を直線と双曲線で近似し、微係数を  $a_2$ 、図-3 を 2 本の直線で近似し、微係数を  $a_3$ 、として図-4 を直線で近似し、微係数を  $a_4$  とする。そのとき、主応力、主ひずみの関係式は式(1)で与えられる。ただし、 $a_{11}, a_{12}, a_{13}$  および  $a_{21}$  のそれぞれは、すべて  $a_1, a_2, a_3, a_4$  の 4 つの微係数を含んだ関数である。

$$\begin{bmatrix} d\epsilon_1 \\ d\epsilon_2 \end{bmatrix} = \begin{bmatrix} a_{11} & a_{12} \\ a_{21} & a_{22} \end{bmatrix} \begin{bmatrix} d\sigma_1 \\ d\sigma_2 \end{bmatrix} \quad (1)$$

式(1)をF. E. M に適用するに当って、棚橋<sup>1)</sup>と同様に異方性理論を採用した。解析例としては、深さ 5m、幅 15 m の埋め立て地盤とした。また、荷重を自重だけとしたので、増分演算を用いず直接反復法で非線形解析を行なった。この解析による主応力分布を図-5 に示す。

#### 5. おりに

乱したシラスの  $\delta_{oct}$ 、 $T_{oct}$ -虎鹿駆より同シラスの変形特性を論じたが、虎鹿駆のいずれにおいても間引き比の影響については、未だ不十分である。また  $\delta_{oct}$ -虎鹿駆とは、ガラスビーズ、標準砂と比較・検討し、シラスの特性が一部明確となり、 $T_{oct}$ -虎鹿駆とは、まだ行っておらず、 $\lambda$  の影響とも併せて今後追求していくねばならない。また、F. E. M 解析におけることは、今回増分演算を使用せず、反復法を行なつたが、今後、大きな荷重が作用する場合などを対象にして増分演算を行なう。

<sup>1)</sup>参考文献> 例は Roscoe, K.H. et al Geotechnique, Vol. 19, No. 2 (1963) P.12~38, 村山, 木村, 京大助教年報, 第7号(昭和39年)P.24~38, 棚橋, 土木学会西部支部研究発表会講演集(昭和52年)P.201~202, 2) 藤本他, 第12回土工研究発表会講演集(昭和52年)P.333~336, 土木学会第32回年次学術講演集(昭和52年)P.82~93(付録)

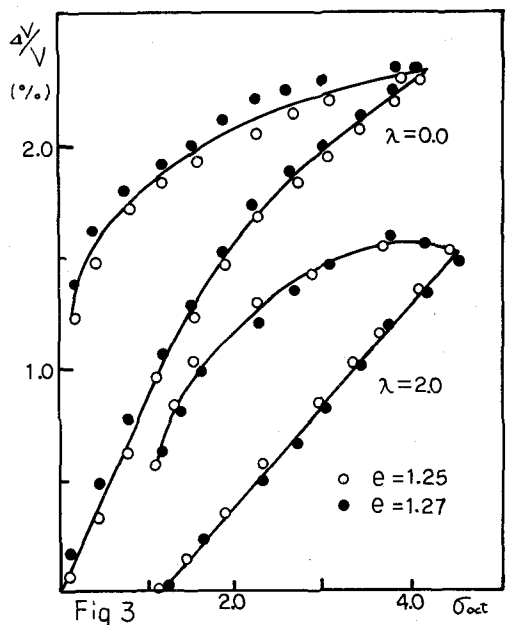


Fig. 3

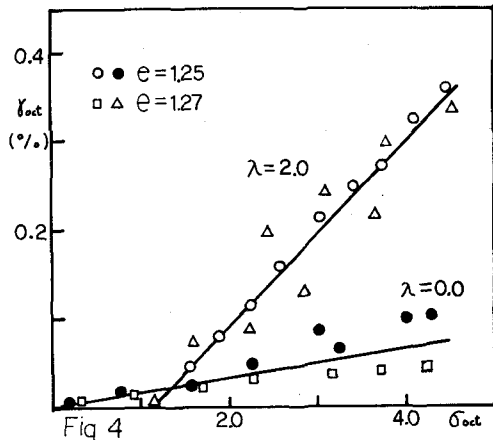


Fig. 4

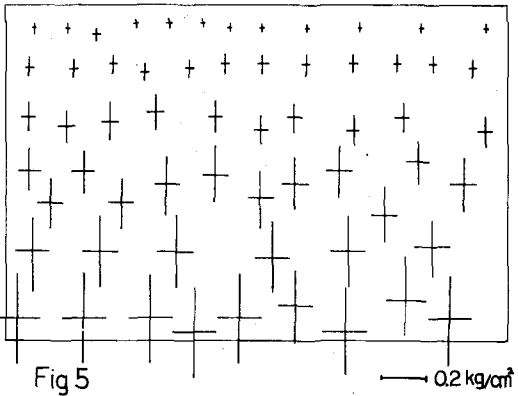


Fig. 5